神戸市立工業高等専門学校 学生会員〇安藤 繁人 神戸市立工業高等専門学校 正 会 員 上中宏二郎

1. はじめに

二重鋼管合成 (Concrete Filled Double Skin Tubular, CFDST)部材とは、大きさの異なる鋼管を同心円上に配置して、両鋼管の間のみにコンクリートを充填した複合構造物である。 CFDST は中空鋼管を有するため、必然的に、従来のコンクリート充填鋼管部材(CFT)と比較して軽量となる利点を有する。

これまで著者らは、内外円鋼管の CFDST の中心圧縮 実験 1 , 純曲げ実験 2 , 曲げせん断実験 3 , 4 を行ってきた つづいて、本研究では、角型内鋼管を有する外円鋼管 の CFDST(図 $^{-1}$ 参照)の曲げせん断実験を行い、内鋼管 幅と外鋼管径の比(B/D_{o})がせん断特性に与える影響につ いて、実験的に検討することを目的とする。

2. 実験方法

表-1 に供試体一覧を,図-2 に載荷方法をそれぞれ示す。供試体は鋼管厚 (t_i, t_o) と内鋼管幅Bの組み合わせの合計8体である。載荷方法は載荷は9 (Loading beam)を介して集中荷重Pを分配させ,逆対称二点載荷方法により,供試体に一定のせん断力(V=Pa/(a+b))を作用させた。また,載荷点直下に50mmの変位形を設置し,供試体の変形性能を測定した。さらに,内外鋼管に2枚の2軸ひずみゲージ,1枚の3軸ひずみゲージを添付し,鋼管の応力状態を測定した。

3. 実験結果と考察

(1)破壊形式

図-3に破壊形式を示す。全供試体において、載荷点と支点を結ぶ直線上に、充填コンクリートのせん断破壊が見られた。また、t=1.6mmの供試体では、せん断破壊が進行後、圧縮側の内鋼管を支点とした局部曲げモーメントの発生による外鋼管のひび割れが観察された。これは、既報の純曲げ試験²⁾の引張側の破壊と同様であった。

(2)作用せん断力-変位関係

図-4に作用せん断力(V)と変位の関係を示す。ここで、変位は供試体幅bで除した値である。同図より、供試体幅の10%程度の変形が進行しても、供試体に顕著な耐力低下が認められず、角型内鋼管を有する CFDST はじん性に富んだ部材と考えられる。さらに、内鋼管の影響はほとんど見られず、内鋼管がせん断補強に寄与していると考えられる。

(3) せん断強度

表-1 に得られた実験せん断強度 (V_{exp})を示している。 また、参照値の CFDST の算定せん断強度(V_{est})は以下の とおりに求められる。

$$V_{est} = V_u + V_{so} + V_{si} \tag{1}$$

ここで、Vuは二羽が提案したRCのディープビームのせ

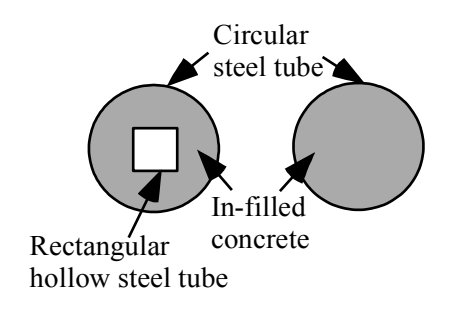
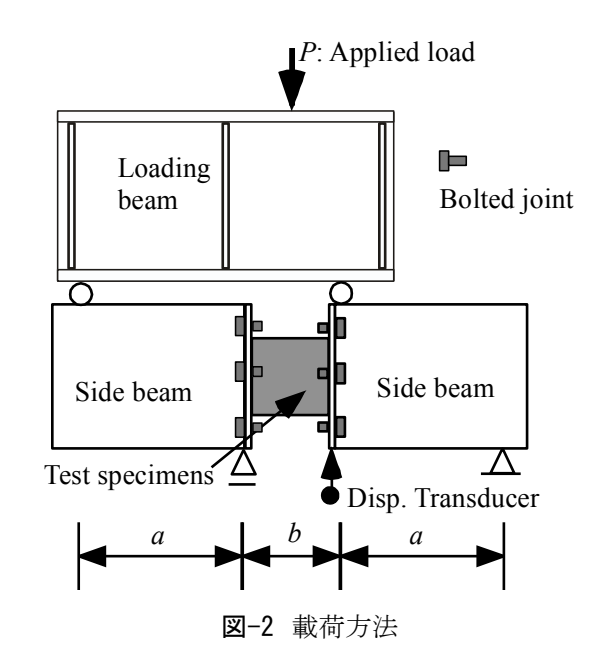


図-1 角型内鋼管を有する CFDST



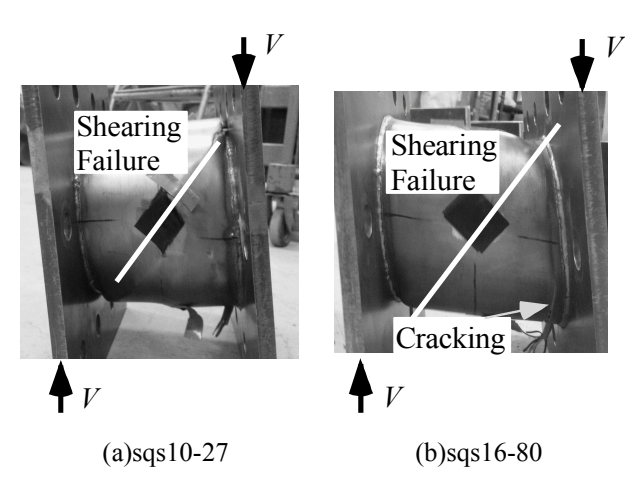


図-3 破壊形式

ん断強度 5 , V_{si} , V_{so} :トラス理論による内外鋼管によるせん断強度をそれぞれ示す。

No.	Specimen Label	В	t_{i}	<i>D</i> _o (mm)	t_o	B/D_o	D_o/t_o	f_{y}	f_{u}	f_c'	V_{exp}	V_{est}	V_{exp}
		(mm)	(mm)		(mm)			(MPa)	(MPa)	(MPa)	(kN)	(kN)	V_{est}
1	sqs10-00	0.0	0.0	160	1.0	0.00	160.0		352.5	36.5	188.9	105.2	1.80
2	sqs10-27	27.0	1.0			0.17		204.3		37.9	174.8	105.0	1.67
3	sqs10-53	53.0	1.0			0.33		204.3			174.6	107.4	1.63
_4	sqs10-80	80.0	1.0			0.50					133.1	109.5	1.22
54)	sqs16-00	0.0	0.0	100 -	1.6	0.00	100.0	345.2	454.6	31.9	230.8	178.3	1.29
6	sqs16-27	27.0	1.6			0.17		233.3	331.4	37.9	264.3	193.6	1.37
7	sqs16-53	53.0	1.6			0.33					317.9	211.5	1.50
8	sqs16-80	80.0	1.6			0.50					209.4	229.6	0.91

図-5 に式(1)より求めた算定強度と実験強度の関係を示す。同図より、相対比 V_{exp}/V_{esr} =1.30 となり、算定値は実験値を安全側に評価すること、ならびに、ばらつきが少なく(相関係数 r=0.86)良好に評価できていることがわかる。さらに、図-6 に無次元せん断強度(V_{exp}/V_{esr})と内外の鋼管幅比(B/D_o)の関係を示す。式(1)を用いて、 B/D_o <0.33 までなら、Bを大きくしても顕著な無次元せん断強度(V_{exp}/V_{esr})の低下は見られず、CFT と比較しても十分なせん断強度を有するものと考えられる。

4. まとめ

本研究では、角型内鋼管を配置した CFDST 部材の逆 対称二点曲げ載荷試験を合計 8 体行い、鋼管幅比(B/D_o) がせん断特性に与える影響について考察したものであ る。結論付けられる事項を列記すると以下のとおりで ある。

- (1)得られた破壊形式は、支点と支点を結ぶ充填コンク リートのせん断破壊であった。また、内鋼管の影響 による外鋼管の引張破断が見られた。
- (2)得られた変形性能は、10%の変形が進行しても顕著な耐力低下が見られず、角型内鋼管の大きさが変形特性に与える影響は少ないと考えられた。
- (3) 従来の RC 理論に基づくせん断強度を用いて, CFDSTのせん断強度を算定したところ, 算定強度は 実験強度を良好に評価することがわかった。また, B/D。<0.33 までなら, 角型内鋼管がせん断強度に与え る影響は少ないと考えられた。

謝辞:本実験を遂行するに当たり,神戸市立工業高等 専門学校都市工学科に在籍された学生にご協力いただ き,感謝の意を表します。

参考文献: 1)Uenaka, K. et al.: Concrete Filled Double Skin Circular Stub Columns under Compression, Thin-Walled Structures, Elsevier, 48(1), 19-24, 2010. 2)Uenaka, K. et al.: Concrete Filled Double Skin Tubular Members subjected to Bending, Steel & Composite Structures -An International Journal, Techno-Press, 8(4), 297-312, 2008. 3)Uenaka, K. et al.: Mechanical Behavior of Concrete Filled Double Skin Tubular Circular Deep Beams, Thin-Walled Structures, Elsevier, 49(2), 256-263, 2011. 4)上中宏二郎: 中空式二重鋼管・コンクリート合成部材のせん断特性, コンクリート工学年次論文集, 日本コンクリート工学会, 33(2), 1111-1116, 2011. 5)二羽淳一郎: FEM 解析に基づくディープビームのせん断耐荷力算定式, 第2回RC構造のせん断問題に対する解析的研究に関するコロキウム論文集, pp. 119-128, 1983.

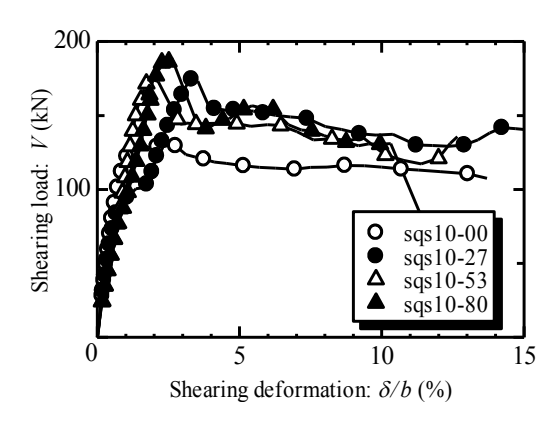


図-4 せん断力-変位関係

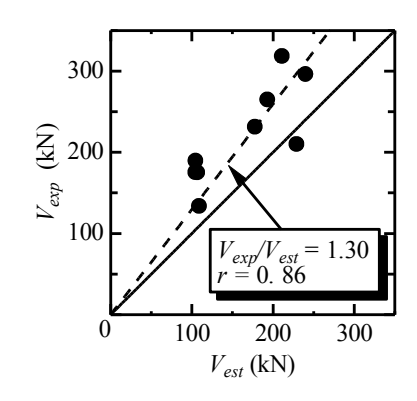


図-5 算定強度と実験強度

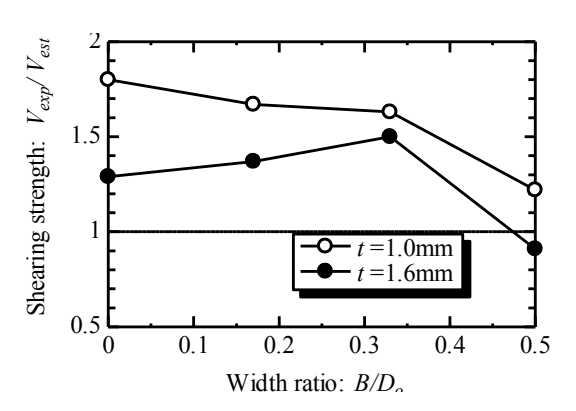


図-6 せん断強度比と鋼管幅比